

# ИЗМЕНЕНИЕ ОПТИЧЕСКИХ ПАРАМЕТРОВ БЕЛКОВ СЫВОРОТКИ КРОВИ ПРИ НАРУШЕНИЯХ МОЗГОВОГО КРОВООБРАЩЕНИЯ

**А. В. Бойко, В. Б. Кошелев, Г. П. Петрова, Ю. М. Петруевич,**

**О. Е. Фадюкова, Д. И. Тен**

*(кафедра молекулярной физики; кафедра низких температур)*

E-mail: petrova@phys.msu.su

**Методом статического и динамического рассеяния света исследованы молекулярные параметры водных растворов сыворотки крови крыс при нарушениях мозгового кровообращения. Из сравнения полученных данных с контрольными значениями обнаружено уменьшение эффективных масс рассеивающих частиц и их гидродинамических радиусов при развитии сосудистой патологии. Это дает основание считать, что метод светорассеяния является достаточно чувствительным для анализа и мониторинга сосудистых заболеваний.**

## **Введение**

Развитие патологических процессов в организме сопровождается изменениями ряда молекулярных параметров белков, входящих в состав сыворотки крови.

В настоящей работе изучалось изменение молекулярных параметров белков в водных растворах сыворотки крови животных (крыс) при искусственно вызванной патологии с целью разработки новых физических методов диагностики нарушений мозгового кровообращения. Исследования проводились с помощью методов статического и динамического рассеяния света. В качестве патологии у животных была искусственно вызвана ишемия мозга и геморрагический инсульт.

Ишемия головного мозга возникает вследствие снижения мозгового кровотока и ограничения поступления в нервную ткань кислорода и глюкозы и является наиболее распространенной причиной нарушений функций мозга. Составляя около 2% общей массы тела человека, головной мозг потребляет 20–25% поступающего в организм кислорода и до 70% свободной глюкозы. Для исследования механизмов развития ишемии мозга разработаны различные экспериментальные модели для исследования данной патологии в опытах на животных. В этой работе была использована модель гипоксии, возникающей при перевязке сонной артерии. Геморрагический инсульт у специальной линии крыс (Крушинского–Молодкиной) вызывался сильным акустическим воздействием на животных.

## **Методы исследования**

Особенности рассеяния света в растворах сыворотки крови определяются физическими параметрами растворенных молекул, прежде всего альбумина и глобулина.

Для исследования межмолекулярного взаимодействия, подвижности и поляризационных свойств

растворов макромолекул, включая водные растворы белков, очень эффективными являются методы статического и динамического рассеяния света.

Согласно теории Дебая [1], для разбавленных растворов макромолекул имеет место соотношение

$$\frac{cH}{R_{90}} = \frac{1}{M} + 2Bc + \dots, \quad (1)$$

которое позволяет измеряемую в эксперименте величину  $R_{90}$  — рэлеевский коэффициент или мутность, представить в виде вириального разложения по малым концентрациям. Постоянная  $H$  определяется параметрами оптической установки и инкрементом показателя преломления исследуемого раствора. Метод дает возможность прямого определения молекулярной массы  $M$ , для чего необходимо измерить  $R_{90}$  при нескольких концентрациях и экстраполировать полученную зависимость к концентрации  $c = 0$ . Второй вириальный коэффициент  $B$  характеризует степень отклонения поведения раствора от идеального и служит мерой межмолекулярного взаимодействия в растворе.

Для растворов заряженных макромолекул — какими являются белки очень существенным оказывается влияние поверхностного заряда молекулы на ее поведение в растворе, в частности, на параметр межмолекулярного взаимодействия.

Динамические параметры макромолекул могут быть изучены с помощью метода корреляционной спектроскопии. В этом методе исследуется корреляционная функция флуктуаций интенсивности рассеянного света, обусловленных броуновским движением частиц раствора. При этом могут быть определены коэффициенты трансляционной диффузии частиц и их гидродинамические радиусы.

В работе [2] было показано, что концентрационные зависимости коэффициента трансляционной диффузии и параметра рассеяния определяются одним и тем же вириальным коэффициентом. Так связь между коэффициентом  $D_t$ , массой молекулы  $M$

и характеристической вязкостью белкового раствора  $\eta$  определяется уравнением

$$D_t = D_0 \{1 + (2BM - [\eta])c\}, \quad D_0 = \frac{kT}{6\pi\eta_0 R}, \quad (2)$$

где  $R$  — радиус частицы.

В классических формулах (1) и (2) зависимость от зарядового состояния белковой молекулы в явном виде отсутствует [1]. Однако можно предположить, что, как коэффициент  $B$ , так и характеристическая вязкость  $\eta$  являются функциями электростатических параметров макромолекул. Это было подтверждено экспериментально в работе [2], где было показано, что коэффициент  $D_t$  нелинейно зависит от заряда на поверхности белка (величины  $pH$ ) и имеет минимум в изоэлектрической точке, подобно параметру  $B$ .

### Экспериментальные результаты

Сыворотка — жидкая часть крови, отделенная от форменных элементов и фибриногена. В норме сыворотка состоит на 90% из воды, на 9% из белка и на 0.87% из растворенных солей [3, 4]. В табл. 1 представлены основные белковые фракции сыворотки крови и их концентрации.

Таблица 1  
Белки сыворотки крови [4]

Основные белковые фракции	Концентрация	
	г/л	%
Альбумины	35–45	56.5–66.8
Глобулины	23–35	33.2–43.5
$\alpha_1$ -глобулины	3–6	3.0–5.6
$\alpha_2$ -глобулины	4–9	6.9–10.5
$\beta$ -глобулины	6.0–11.0	7.3–12.5
$\gamma$ -глобулины	7.0–15.0	12.9–19.0
Фибриноген	2.0–4.0	0.2–0.4

В нашей работе опыты проводились на животных двух экспериментальных групп: 1-я — контрольная группа, 2-я — опытная группа — крысы, подвергнутые операции по перевязке сонной артерии или акустическому воздействию.

Рассеивающие свойства водных растворов сыворотки крови изучались на оптической установке с Не–Не лазером ( $\lambda = 632$  нм) и фотоэлектронной регистрацией рассеянного излучения [5].

Основные параметры, которые исследовались в эксперименте, это интенсивность интегрального рассеяния (под углом  $90^\circ$  к падающему лучу), масса рассеивающих частиц и коэффициент межмолекулярного взаимодействия.

В табл. 2 представлены результаты обследования методом статического рассеяния растворов сыворотки крови животных, у которых вызывалось нарушение мозгового кровообращения путем перевязки сонной артерии. Указаны параметры, полученные на образцах крови, взятой до и после операции. Образцы соответствуют серии *ишемия* (экспери-

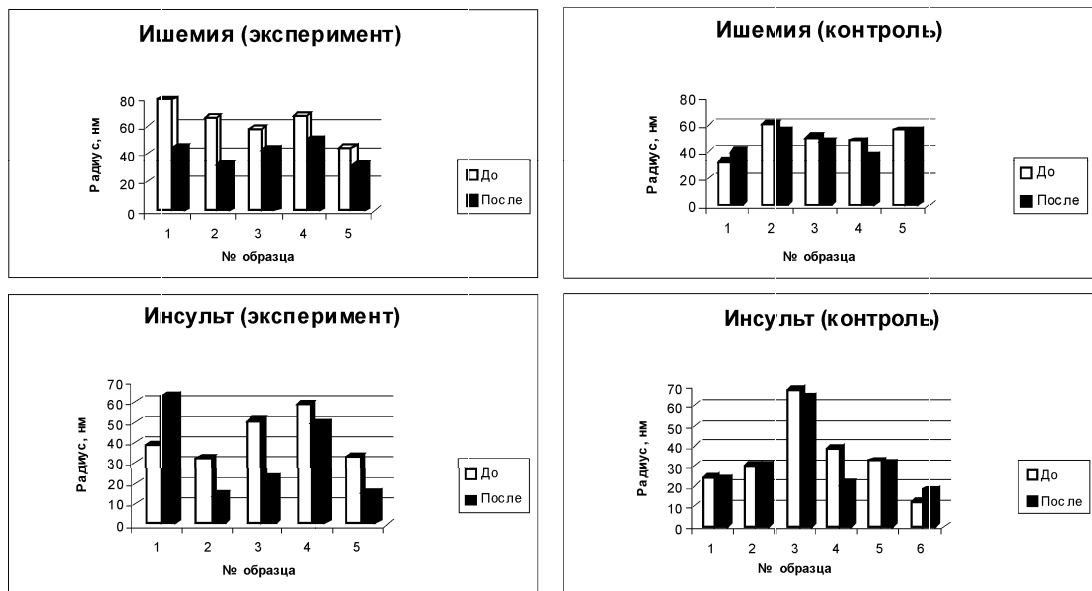
Таблица 2  
Экспериментально полученные значения молекулярной массы  $M$ , второго вирального коэффициента  $B$  и среднего радиуса рассеивающих частиц для образцов сыворотки крови крыс

№ образца	$M_{\text{before}}$ , г/моль	$M_{\text{after}}$ , г/моль	$R_{\text{before}}$ , нм	$R_{\text{after}}$ , нм
<i>Ишемия (эксперимент)</i>				
1	115 740	85 000	78.7	44.1
2	28 000	20 200	65.4	32.1
3	21 000	16 600	57.5	42.6
4	78 700	55 000	66.7	50.4
5	83 000	76 000	44.2	31.7
<i>Ишемия (контроль)</i>				
1	74 100	76 000	32.3	40.2
2	29 948	23 347	60.1	56.3
3	70 500	69 100	51.1	47.5
4	35 900	31 500	48.8	37.6
5	20 500	20 000	56.5	55.6
<i>Инсульт (эксперимент)</i>				
1	38 000	41 600	38.7	62.5
2	42 600	39 200	31.7	14.2
3	36 000	15 200	50.5	23.6
4	29 154	24 509	59.3	50.1
5	37 300	32 258	33.4	14.9
<i>Инсульт (контроль)</i>				
1	31 900	28 500	23.9	23.6
2	76 400	77 000	30.2	30.5
3	81 200	76 000	67.8	64.5
4	24 700	23 100	38.7	20.9
5	36 088	39 717	32.6	31.6
6	16 700	17 900	11.8	18.5

мент). Эти результаты сравниваются с данными обследования сыворотки, полученной от животных, которые подвергались так называемой ложной операции (без перевязки сонной артерии). В таблице эти результаты представлены как *ишемия (контроль)*. Как видно из таблицы, в случае развития ишемии головного мозга, эффективная масса рассеивающих частиц уменьшается.

Во второй половине табл. 2 приведены молекулярные параметры растворов сыворотки крови крыс, у которых вызывался геморрагический инсульт (*инсульт (эксперимент)*). В этом случае, так же как для ишемии, наблюдается некоторое уменьшение эффективной массы рассеивающих частиц. Для сравнения были взяты образцы сыворотки крови крыс той же серии (Крушинского–Молодкиной). В таблице эти данные обозначены *инсульт (контроль)*. Как видно из таблицы для контрольных образцов величины эффективной массы рассеивающих частиц имеют более близкие значения.

Динамические параметры — коэффициент диффузии и средний эффективный радиус рассеивающих частиц измерялись с помощью лазерного корреляционного спектрометра [6]. Длина волны света, рассеянного частицами, находящимися в броуновском движении, отличается от длины волны источника возбуждения. ФЭУ, фиксирующий пучки с различными длинами волн, работает при этом



Диаграммы для величин эффективных радиусов

как квадратичный детектор. Выходной фототок представляет собой последовательность импульсов, определяемую флуктуациями результирующей интенсивности. Из получаемой в результате корреляционной функции интенсивности рассеянного света определяется коэффициент диффузии частиц и их гидродинамические радиусы.

Методом динамического рассеяния света с помощью оптического фотонного коррелятора были обследованы 10 образцов сыворотки крови самцов крыс (до и после операции по перевязке сонной артерии), а также 11 образцов сыворотки крови самок животных (до и после развития геморрагического инсульта). Были получены средние значения эффективного радиуса частиц, определяемого по коэффициенту трансляционной диффузии. Эксперимент проводился двойным слепым методом.

Величины эффективных радиусов, измеренных для случая *эксперимент* и *контроль*, также приведены в табл. 2 и на рисунке. Полученные результаты показывают существенное различие этого параметра для здоровых животных (до операции) и животных, перенесших операцию.

Анализ табл. 2 показывает взаимосвязь рассчитанной массы  $M$  рассеивающих частиц, параметра межмолекулярного взаимодействия (коэффициента  $B$ ) с эффективным радиусом частицы  $R$ , зависящим от динамического диффузационного коэффициента. Все перечисленные величины заметно изменяются в случае рассмотренной патологии.

Причины уменьшения эффективных радиусов и масс рассеивающих частиц при сосудистой патологии пока не ясны. Вероятно это связано с недостаточностью используемых классических формул для расчета статических и динамических параметров рассеивающих частиц в случае сильных электростатических взаимодействий. Для более детальных выводов необходимо проведение дополнительных ис-

следований, тем более, что параметры сыворотки крови сильно зависят от индивидуальных особенностей животных.

## Выводы

Методом статического и динамического рассеяния света измерены молекулярные параметры сыворотки крови крыс при различной сосудистой патологии. Из сравнения полученных данных с контрольными значениями обнаружено уменьшение эффективных масс рассеивающих частиц и их радиусов при развитии ишемии и геморрагического инсульта.

При этом можно считать, что метод светорассеяния может оказаться весьма чувствительным для анализа и мониторинга сосудистых заболеваний.

Работа проводилась в рамках междисциплинарного научного проекта МГУ «Оптика крови и диагностика сосудистых и онкологических заболеваний» (2001–2002 гг.).

## Литература

1. Debye P.J. // Appl. Phys. 1946. **15**. P. 338.
2. Петрова Г.П., Петрусеевич Ю.М. // Биомед. радиоэлектроника. 2000. № 3. С. 4.
3. Винчестер А. Основы современной биологии. М., 1967.
4. Ермолов М.В. Биологическая химия. М., 1983. С. 225–238.
5. Петрова Г.П., Петрусеевич Ю.М., Тен Д.И. // Квантовая электроника. 2002. **32**, № 10. С. 1.
6. Petrova G.P., Petrushevich Yu.M., Ten D.I. et al. // Proc. Int. Conf. Advanced Laser Technologies ALT-02. 2002. SPIE. **5147**. P. 370.
7. Гусев Е.И., Скворцова В.И. Ишемия головного мозга. М., 2001.
8. Однак М.М., Михайленко А.А., Иванов Ю.С., Семин Г.Ф. Сосудистые заболевания головного мозга. СПб., 1998.

Поступила в редакцию  
27.05.04